

## Trojfázové asynchronní elektromotory napájené z jednofázové sítě

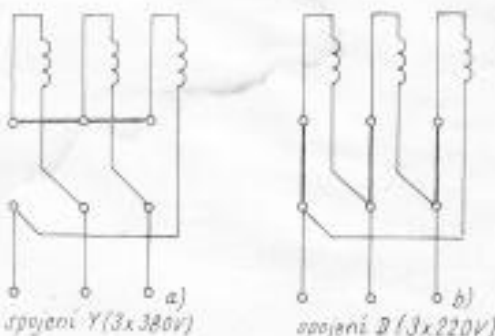
Účelem článku je seznámit čtenáře s experimentálními výsledky zkoušek prováděných s trojfázovými asynchronními elektromotory malých a středních výkonů napájenými z jednofázové sítě. Kromě vlastních výsledků měření jsou uvedeny i podmínky toho, aby provoz trojfázových motorů v jednofázovém zapojení byl bezpečný, spolehlivý a hospodárný. K experimentálnímu měření provedenému na mohelnické zkušebně byly použity elektromotory a elektromotorky vyráběné v n. p. MEZ Mohelnice. Konkrétně jde o současně vyráběnou řadu 3AP 63 až 90 ve dvou a čtyřpólovém provedení s výkony od 120 do 2200 W v trojfázovém zapojení. V jednofázovém zapojení jsou výkony od 90 do 1500 W, tj. o jeden stupeň nižší, jak ukazuje tab. 1.

S výhodou je zde použita šestisvorková svorkovnice, na níž jsou vyvedeny začátky i konce každé fáze, která umožňuje zapojení Y ( $3 \times 380$  V), nebo D ( $3 \times 220$  V), jak je uvedeno na obr. 1a, 1b.

Při všech prováděných měřeních bylo uvažováno jako základní jednofázové napájení napětím 220 V v zapojení D s trvale připojeným kondenzátorem — viz obr. 2a (smysl otáčení vpravo) a obr. 2b (smysl otáčení vlevo).

Kapacita trvale připojeného kondenzátoru  $C_a$  pro motorky a motory mohelnické typové řady 3AP 63 — 90 je přibližně  $10 \mu\text{F}$  na 100 W výkonu při napětí motoru 220 V. Jmenovité napětí kondenzátoru je 250 V. Pro napětí motoru  $U'$  [V] jiné než 220 V je potřebná kapacita přibližně  $C' = C_a (220/U')^2 \mu\text{F}$  a jmenovité napětí kondenzátoru  $U_b = 250 \cdot U'/220$  [V].

Pro jednoúčelové použití motorku (např. pro pohon ventilátoru, pračky apod.) je nejúčelnější stanovit vhodnou kapacitu trvale připojeného kondenzátoru přímým měřením za provozních, tj. skutečných pracovních podmínek. Postupujeme tak,



Obr. 1.

že nejdříve stanovíme (pokud je) předem neznámé) potřebný příkon požádaného zařízení, tj. požadovaný výkon motoru na hřídeli. Z toho odvodíme předběžnou kapacitu kondenzátoru podle zásady  $10 \mu\text{F}$  na 100 W výkonu motoru.

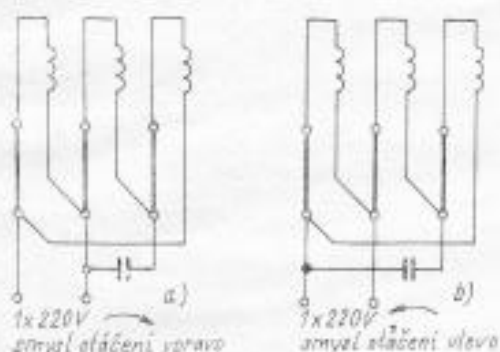
Jedním z rozhodujících posuzovacích klesáků vhodnosti pohonného motoru je pro motory s trvale připojeným kondenzátorem spolehlivost rozběhu. Bude to první praktické měření. Elektromotor se musí s daným zařízením za provozních podmínek

Tab. 1. Výkony motorů při trojfázovém a jednofázovém napájení

Typ motoru	zp = 2		Typ motoru	zp = 4	
	trojfázové	jednofázové		trojfázové	jednofázové
3AP 63-2s	180	120	3AP 63-4s	120	80
3AP 63-2	250	180	3AP 63-4	180	120
3AP 71-2s	370	250	3AP 71-4s	250	180
3AP 71-2	550	370	3AP 71-4	370	250
3AP 80-2s	750	550	3AP 80-4s	550	370
3AP 80-2	1100	750	3AP 80-4	750	550
3AP 90S-2	1500	1100	3AP 90S-4	1100	750
3AP 90L-2	2200	1500	3AP 90L-4	1500	1100

Tab. 2. Řada kapacit běhových kondenzátorů 250 V

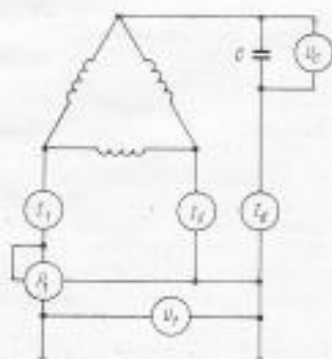
Základní typové označení	Katalogové hodnoty [ $\mu F$ ]													
WK 708	2,5	4	5	6	8	10	12	14	16	18	20	22	24	25



Obr. 2.

spolehlivě rozbitat nejen při napětí jmenovitém  $U_{jn}$ , které bývá obvykle 220 V, 50 Hz, ale i při napěti sníženém o 15 %, tj. 0,85  $U_{jn}$ . Pokud by předem stanovená kapacita kondenzátoru nesplňovala podmínku spolehlivého rozbitu, můžeme volit kondenzátor s kapacitou nejblíže vyšší vyráběně hodnoty — viz tab. 2 s uvedenami běhových kondenzátorů pro 220 V, které vyrábí n. p. TE5LA Lanškroun (tabulka je z katalogu platného v současné době — 1979).

Pokud je podmínka spolehlivého rozbitu splněna, provedeme kontrolní měření za provozního stavu.



Obr. 3. Základní schéma zapojení přístrojů.

vu zařízení. Podle schématu zapojení na obr. 3 můžeme velikosti proudů  $I_1$ ,  $I_2$ ,  $I_f$ , velikosti napětí  $U_1$ ,  $U_2$  a celkový příkon  $P_t$ .

Sdružené proudy  $I_1$ ,  $I_2$  a  $I_f$  by se neměly podstatně lišit od hodnoty sdruženého proudu uvedeného na štítku motoru pro trojfázový chod. Nemůžeme očekávat přesnou rovnost proudů, což ani z praktického hlediska není nutné. Je však nezádoucí překračovat střední hodnotu sdruženého proudu, poněvadž velikosti proudů, bez ohledu na fázové posuny, určují teplotní poměry ve vinutí.

Napětí na kondenzátoru  $U_C$  by mělo být přibližně shodné s napětím jmenovitým  $U_{jn}$ . Obvykle bude nižší a tím bude i menší proud  $I_S$ . O průběžích jednotlivých proudů bude pojednáno dále.

Celkový příkon bude v tomto případě parametrem ekonomickým, vyjadřujícím účinnost pohonného motoru.

Další sledovanou hodnotou jsou otáčky motoru, které je nutno měřit opět za provozního (pokud možno ustáleného) stavu. Při nadměrně velkém skluzu, který by nepříznivě ovlivňoval funkci zařízení, nebo jeho kvalitativní vlastnosti — bude nutno kapacitu kondenzátoru zvětšit, maximálně však na nejblíže větší vyráběnou hodnotu, oproti předběžně stanovené.

Cílem popisovaných zkoušek je v podstatě nalézt optimální hodnotu kapacity, která bude vyhovovat podmínek spolehlivého rozbitu při zachování dobrých energetických vlastností (účinnost, viz dalej tab. 5). Mnohdy bude třeba volit určitý kompromis mezi danými podmínkami, v každém případě je však třeba dodržet podmínu spolehlivého rozbitu, což je v našem případě základní funkční vlastnost. Pokud by spolehlivý rozbit nebyl zaručen ani při kapacitě určené podle pravidla 10  $\mu F$  na 100 W výkonu, zvětšené na nejblíže větší vyráběnou hodnotu, je nutné volit pohonný motor s větším výkonom (větší typové hodnoty), popř. konstatovat, že motor s trvale připojeným kondenzátorem je pro pohon daného zařízení nevhodný.

Je známou skutečností, že stroje s trvale připojeným kondenzátorem mají podstatně menší záherný moment  $M_z$ , než motory s rozbitovou kapacitou nebo odporem pomocnou fází. Jejich přednosti je však dobrá provozní spolehlivost a podstatně lepší energetické parametry. Průměrná srovnatelná

Tab. 3. Porovnání poměrných záběrných momentů

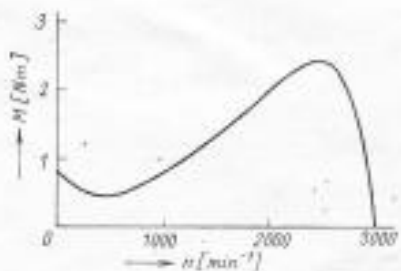
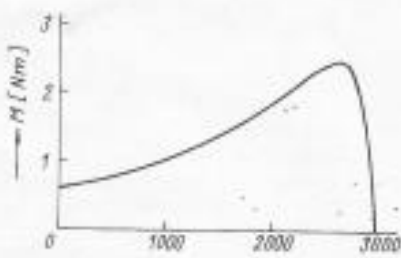
Poměrný záběrný moment	Provedení elektromotoru
1	Kapacitní rozbehová pomocná fáze, typová řada 3APJC
0,435	Odporevá rozbehová pomocná fáze, typová řada 3APJ
0,175	Trvale připojená kapacitní pomocná fáze, typová řada 3APC. Platí i pro případ trojfázových motorů jednofázově napájených
1,1	Trojfázové elektromotory, typová řada 3AP

Tab. 4.  $t_p = f(C_B)$ ;  $M_p = f(C_B)$ 

$C_B$ [ $\mu F$ ]	$M_p$ [Nm]	doba rozbehu $t_p$ [s]	přidavný moment setrvačnosti [ $kg \cdot m^2$ ]	moment setrvačnosti motoru [ $kg \cdot m^2$ ]
25	0,275	33	0,2	0,004
50	0,667	16	0,2	0,004
75	0,804	11,5	0,2	0,004
100	1,06	8,5	0,2	0,004

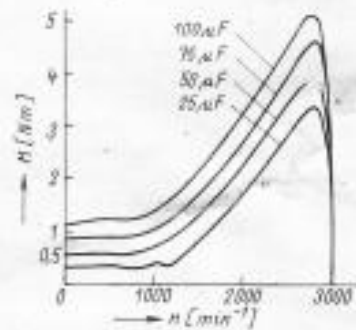
velikost poměrných záběrných momentů  $M_p/M_n$  je patrná z tab. 3, přičemž za základ (hodnota 1) jsou využity motory s rozbehovou kapacitní pomocnou fazou (provedení 3APJC). Pro úplnost a názornost je v tabulce ještě uvedena průměrná hodnota poměrného záběrného momentu trojfázových motorů typové velikosti 3AP.

Neméně důležitou funkční vlastností motoru je průběh krouticího momentu v závislosti na otáčkách  $M=f(n)$ . U motoru s trvale připojeným kondenzátorem je to zvláště důležité už z toho důvodu, že jejich záběrný moment je poměrně malý. Považujeme za zásadu, že hodnota minimálního krouticího momentu  $M_{min}$  v průběhu celé momentové charakteristiky  $M=f(n)$  nesmí být menší než velikost momentu záběrného  $M_p$ . Platí tedy, že  $M_p$  je současně  $M_{min}$ . Průběh momentové charakteristiky ovlivníme změnou velikosti kondenzátoru, jen nevýrazně, zvláště jsme-li omezeni podmínkami funkčními a provozními vlastnostmi. Na zkušebně n. p. MEZ Mohelnice byla provedena měření všech základních elektromotorů staré řady 3AP 63 — 90

Obr. 4a. Průběh  $M=f(n)$  motoru s počtem drážek 18/23.Obr. 4b. Průběh  $M=f(n)$  motoru s počtem drážek 18/14.

v současné době vyráběně řady 3AP 63 — 90 v jednofázovém zapojení. Při snímání momentových charakteristik byl pozorován a vyhodnocován jejich průběh se zřetelem na  $M_{min}$  při různém poměru drážek statoru k drážkám rotoru. Je samozřejmé, že nemohlo být volen poměr libovolný, ale jen takový, jaký bylo možno z hlediska výrobních možností zajistit. Na obr. 4 jsou znázorněny průběhy  $M=f(n)$  trojfázového motorku 3AP 71 — 2 v jednofázovém zapojení, přičemž obr. 4a platí pro motorek s poměrem počtu drážek na statoru a rotoru 18/23 a obr. 4b platí pro tyž motorek s poměrem počtu drážek 18/14.

Přestože je v prvním případě absolutní hodnota  $M_p$  vyšší než v případě druhém, nemá průběh  $M=f(n)$  trvale vztahující charakter;  $M_{min}$  je podstatně nižší než  $M_p$  a motorek se proto hodnotí jako nevhodný pro obecnější použití.

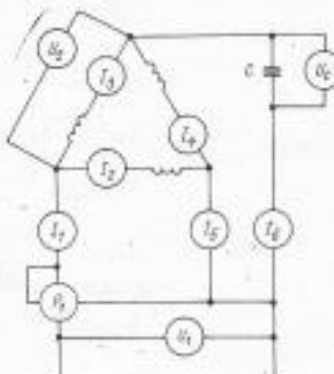
Obr. 5. Průběhy  $M=f(n)$  motoru 3AP 80 — 2 při různé běhové kapacitě.

Na obr. 5 jsou znázorněny průběhy  $M=f(n)$  motoru 3AP 80 — 2 v jednofázovém zapojení s různou kapacitou kondenzátorů. Jmenovitá kapacita je 75  $\mu F$ , jmenovitý výkon motoru 750 W. Z průběhu je zřejmé, že velikost kapacity určuje především  $M_p$  motoru a  $M_{max}$  (maximální moment). Vlastní průběh charakteristiky z hlediska tvary ovlivňuje jen nevýrazně. Momentové charakteristiky byly snímány souřadnicovými zápisovači při rozbehu motoru zatíženého na hřídele přidavným momentem setrvačnosti.

Přidavný moment setrvačnosti byl  $0,2 \text{ kg} \cdot \text{m}^2$  (setrvačný moment  $GD^2 = 0,05 \text{ kp} \cdot \text{m}^2$ ), což je padesátinásobek momentu setrvačnosti vlastního rotoru.

V přehledné tab. 4 jsou uvedeny velikosti  $M_2$  a naměřené rozběhové časy motoru při použitých hodnotách kondenzátorů.

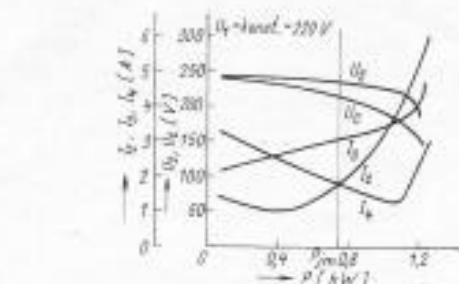
Uvedeme zde výsledky zkoušek a měření provedených na konkrétních typech trojfázových motorů řady 3AP 63 - 90 v jednofázovém zapojení. Jmenovité výkony pro jednofázové zapojení byly stanoveny podle trojfázové řady výkonů, ponížených o 1 stupeň, tj. asi o 1/3. Tím zůstává normalizačně



Obr. 6. Schéma zapojení přístrojů pro zjištění průběhu jednotlivých proudů.

doporučená výkonová řada zachována. Výsledky měření byly hodnoceny podle ČSN 35 0060 - Elektromotorky do 550 W a podle ČSN 35 0000 - Elektromotorky nad 550 W. V tab. 5 jsou přehledně uspořádány údaje, které jsou rozhodné pro posouzení vlastností měřených motorů nejen z hlediska CSN, ale i s ohledem na jejich praktické použití.

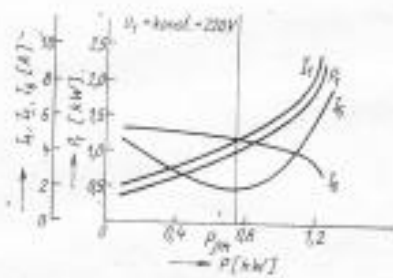
Ve snaze získat představu o průběhu proudů v jednotlivých fázích v závislosti na výkonu a dále na napětí, bylo měřicí stanoviště rozšířeno o další přístroje a celkové zapojení upraveno podle obr. 6. Měřeny byly všechny hodnoty proudů, napětí a příkonů, jak je patrné z rozmištění měřicích přístrojů. Příkony v jednotlivých fázích měřeny



Obr. 7a. Závislost fázových proudů na výkonu při konstantním napájecím napětí.

nebyly, pěstože by bylo zajímavé sledovat také fázové posuvy jednotlivých proudů. Wattmetry by však celé měření značně zkomplikovaly a z hlediska praktického použití získaných výsledků není značně učinní v jednotlivých fázích bezpodmínečně nutná.

Na obr. 7a jsou znázorněny průběhy  $I_A$ ,  $I_B$ ,  $I_C$ ,  $U_C = I/P$  při jmenovitém konstantním napětí  $U_1 = 220$  V a jmenovité kapacitě  $C_s = 75 \mu\text{F}$  měřeného elektromotoru 3AP 80 - 2, 750 W. Na obr. 7b jsou uvedeny průběhy  $I_1$ ,  $I_2$ ,  $I_3$ ,  $P_1 = f(P)$  opět při  $U_1 = \text{konst.} = 220$  V a  $C = \text{konst.} = 75 \mu\text{F}$ .



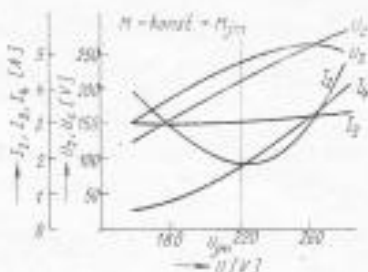
Obr. 7b. Závislost sítových proudů a příkonu na výkonu při konstantním napájecím napětí.

Tab. 5. Výsledky měření jmenovitých hodnot motorů 3AP 63-90 v jednofázovém zapojení 220 V, 50 Hz

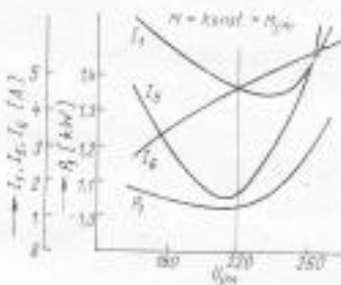
Typ motoru	$P$ [W]	$U$ [V]	$I_1$ [A]	$I_2$ [A]	$I_3$ [A]	$P_1$ [W]	$\eta$ (%)	$\cos \varphi$	$n$ [min $^{-1}$ ]	$\Delta \theta_1$ [ $^{\circ}$ C]	$M_2$ / $M_n$	$I_k$ / $I_n$	$U_{Co}$ [V]	$K_{Co}$ [V]	Počet drážek		Kapacita $C_s$ [ $\mu\text{F}$ ]
															statoru	rotoru	
3AP 63-2s	120	220	0,925 0,9	0,62 0,7	0,95 0,82	195 186	61,5 64,5	0,96 0,94	2880 2880	28 25	0,52 0,46	3,44 3,45	210 210	240 239	24	19	14
3AP 63-4s	90	220	0,87	0,69	0,81	174	51,8	0,91	1400	45	0,58	2,34	206	244	24	18	12
3AP 63-2	180	220	1,34	0,81	1,34	284	63,4	0,96	2870	47	0,45	3,62	209	240	24	19	20
3AP 63-4	120	220	1,06	0,84	0,93	210	57,2	0,9	1410	50	0,54	2,5	207	245	24	18	14
3AP 71-2s	250	220	1,69	0,71	1,65	366	68,3	0,98	2875	42	0,37	3,7	210	242	24	19	25
3AP 71-4s	180	220	1,32	0,96	1,38	282	62	0,91	1430	47	0,47	2,96	211	245	24	18	20
3AP 71-2	370	220	2,33	1,24	2,27	507	73	0,99	2890	44	0,39	4,3	213	241	24	19	35
3AP 71-4	250	220	1,78	1,39	1,6	372	67,5	0,95	1430	45	0,35	3,1	210	247	24	18	25
3AP 80-2s	550	220	3,6	1,33	3,33	795	69,4	1,00	2900	58	0,33	3,9	214	247	24	19	50
3AP 80-4s	370	220	2,53	1,63	2,79	545	67,8	0,98	1440	50	0,42	3,3	221	256	24	18	40
3AP 80-2	750	220	4,65	1,83	4,6	1030	72,8	1,00	2900	69	0,32	4,1	214	246	24	19	75
3AP 80-4	550	220	3,83	2,52	3,98	820	68	0,97	1440	68	0,38	3,2	219	254	24	18	60
3AP 90S-2	1100	220	6,84	1,68	6,8	1490	73,8	0,99	2910	66,5	0,31	4,24	220	250	24	19	100
3AP 90L-2	1500	220	9,76	2,36	10,2	2120	71,2	0,99	2910	72,-	0,37	4,1	220	250	24	19	150

Poznámka: Motory 3AP 90S-4 a 3AP 90L-4 mají poměr počtu drážek na statoru a rotoru 36/28 a jsou pro jednofázový provoz z hlediska rozběhu nevhodné. Jejich  $M_2$  se v určitých polohách rotoru blíží nule.

Jak vypadají průběhy těchto veličin v závislosti na napětí  $U_1$  při konstantním jmenovitým krouticím momentu je uvedeno na dalších obrázcích. Závislost  $I_2, I_3, I_4, U_1, U_C = f(U)$  je na obr. 8a; závislost  $I_1, I_2, I_3, P_1 = f(U)$  je na obr. 8b.



Obr. 8a. Závislost fázových proudů na napěti při konstantním krouticím momentu.

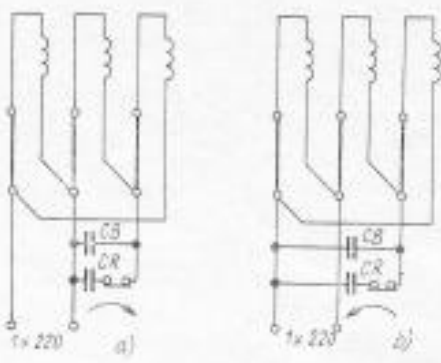


Obr. 8b. Závislost sdržených proudů a příkonu na napěti při konstantním krouticím momentu.

Ze záznám vyplývá, že rozdělení proudů  $I_2, I_3, I_4$  je závislé na velikostech napětí jednotlivých fází, tj. na napětí  $U_1, U_2$  a  $U_3$ . V případě rovnosti těchto napětí byly by i proudy  $I_2, I_3, I_4$  shodné. Takový případ byl hledán u měřeného již motoru 3AP 80 - 2 v jednofázovém zapojení. Na základě provedených měření lze předpokládat, že existuje pouze jeden případ zatížení, kdy k vyrovnaní proudů (napěti) dochází. Při měření bylo postupováno tak, že byly průběžně sledovány proudy  $I_2, I_3, I_4$  při konstantním napětí  $U_1 = 220$  V a zvoleném krouticím momentu v závislosti na běhové kapacitě. Takových měření při odstupňovaném krouticím momentu bylo provedeno několik a zjištěno, že k vyrovnaní proudů při  $U_1 = \text{konst.} = 220$  V dochází při postupném zmenšování krouticího momentu. V našem případě se tak stalo při  $C_a = 41 \mu\text{F}$  a výkonu motoru 375 W (viz tab. 6).

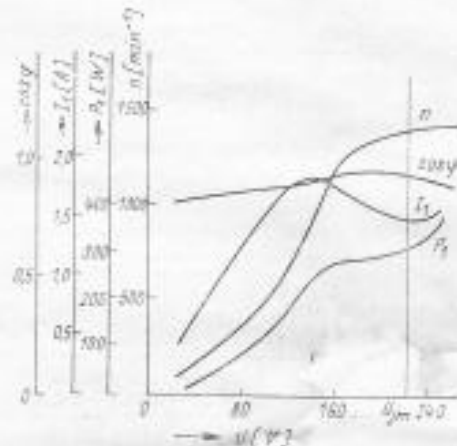
Porovnáním těchto výsledků (tab. 6) s tab. 5 (3AP 80 - 2) zjistíme, že k vyrovnaní fázových proudů došlo za hledaných podmínek při výkonu  $P = 375$  W, což je v daném případě asi 1/3 výkonu při trojfázovém provozu. Z toho je tedy patrné, že rovnost fázových, popř. sdržených proudů není v našem případě účelná a výhodná, právě pro značné zmenšení výkonu na hřídeli motoru.

Nerovnoměrné proudové zatížení jednotlivých fází, způsobené porušením nesouměrnosti proudů



Obr. 9. a) — hřívový i roztěhový kondenzátor, smysl tučení vpravo; b) — běhový i roztěhový kondenzátor, smysl tučeš vlevo.

vě soustavy, není pro správnou funkci motoru za provozních podmínek škodlivé. To konečně prokázala praxe zcela jednoznačně. V popisovaném zapojení pracují některé typy motorek řady 3AP od roku 1975 a v současné době je jich v provozu asi 150 000 ke společnosti (z hlediska elektrických vlastností) provozovatelů i výrobce. Motorky se převážně používají k poholu ventilátorů v zemědělských objektech. Množství vzduchu se řídí otáčkami motorku v závislosti na velikosti přívaděného napětí. Tento způsob řízení lze provést díky vhodným průběhem momentové charakteristiky  $M = f(n)$  motorku a pracovní charakteristiky ventilátoru. Ukázka průběhu otáček  $n$ , proudu  $I_1$ , příkonu  $P_1$  a účinku  $\cos \varphi$  je znázorněn na obr. 10.



Obr. 10. Ukázka průběhu  $n$ ;  $I_1$ ;  $\cos \varphi$ ;  $P_1 = f(U)$  motoru 3AP 71 - 4s; 1x220 V, s ventilátorem Ø 400 mm.

V daném případě bylo použito motorku 3AP 71 - 4s v jednofázovém zapojení 220 V, 180 W,  $C_a = 20 \mu\text{F}$ . Na hřidle motorku byl upěvněn ventilátor z hliníkové slitiny s průměrem oběžného kola 400 mm a se sedmi lopatkami. Za normálních provozních podmínek pracuje motorek spolehlivě již při  $U_1 = 40$  V, tj. esí od  $n = 160 \text{ min}^{-1}$  až do jmenovitých otáček  $1420 \text{ min}^{-1}$  při postupném zvyšování napětí na jmenovitou hodnotu 220 V. Lze tedy dosáhnout

Tab. 6. Naměřené hodnoty

$U_1$ [V]	$U_2$ [V]	$U_3$ [V]	$I_2$ [A]	$I_3$ [A]	$I_4$ [A]	$I_1$ [A]	$P_1$ [W]	$P$ [W]	$M$ [Nm]	$n$ [ $\text{min}^{-1}$ ]	$\cos \varphi$	$\eta$ [%]		
220	219	220	2,85	3,03	2,85	1,68	1,67	1,67	535	375	1,23	2925	0,85	70,1

Tab. 7.

Typ motoru	Zapojení	Rychlosť chvění $\tau_{\max}$ (min $s^{-1}$ )			Akustický tlak $L_A$ (dB)	Výkon (W)
		$x_0$	$x_1$	$y$		
3AP 63-2	3 fáz.	0,3—0,5	0,7—1,4	0,45—0,65	64,3	250
	1 fáz.	0,48—0,88	0,4—1,4	0,45—0,75	63	180
3AP 63-4	3 fáz.	0,8	1,—	0,6	55	180
	1 fáz.	0,9	1,—	0,6	55,4	120
3AP 71-2	3 fáz.	0,3—0,9	0,35—1	0,27	60,2	550
	1 fáz.	0,6—1,3	0,7—1,5	0,42	64,2	370
3AP 71-4	3 fáz.	0,8	1,—	0,6	53,7	370
	1 fáz.	1,1	1,3	0,8	53,4	250
3AP 80-2	3 fáz.	0,6	0,5	0,4	63,6	1100
	1 fáz.	2,4	1,1	0,4	64,5	750
3AP 80-4s	3 fáz.	0,7	1,3—2,3	0,7	58,7	550
	1 fáz.	1,1	2,1—3,—	0,7—1,2	60,6	370
3AP 90S-2	3 fáz.	0,5—1,2	0,5—1,4	0,8	69,5	1500
	1 fáz.	0,6—1,5	0,7—1,7	0,7—1,—	70,1	1100

poměrně značného rozsahu měření, což je v daném případě plně využito.

Pro úplnost je nutné se ještě zmínit o vlivu ne- souměrnosti proudové soustavy vinutí motoru na chvění a akustický tlak (hlukost). Na několika typech motorů, které lze považovat za představitelé celé typové řady 3AP, byla provedena měření chvění i akustického tlaku podle ČSN 35 0019. Měření bylo provedeno na motorech zapojených trojfázově i jednofázově, takže vliv nesouměrnosti proudové soustavy je na první pohled patrný. Výsledky měření jsou přehledně uspořádány v tab. 7.

Chvění strojů bylo měřeno vibrometrem VP 102 [NDR], akustický tlak byl měřen hlukoměrem Brüel & Kjaer, typ 2203 [Dánsko]. K hodnotám uvedeným v tabulce je třeba dodat, že vzájemné srovnání chvění i hlukost v trojfázovém a jednofázovém zapojení je v tomto případě zkresleno v neprospech jednofázového zapojení, poněvadž měření se provádí při chodu naprázdno, přičemž měřený stroj je uložen na pružné podložce (ČSN 35 0019). Při chodu naprázdno v jednofázovém zapojení je proudová soustava vinutí maximálně nesouměrná, což velmi nepříznivě ovlivňuje velikost chvění i akustického tlaku. Za provozních podmínek, tj. při jmenovitém nebo alespoň částečně zatíženém stavu motoru dochází k částečnému vyrovnaní proudové soustavy vinutí (dochází k vyrovnaní napětí  $U_1$ ,  $U_2$  a  $U_3$ ) a tím i ke zmenšení chvění a hluku.

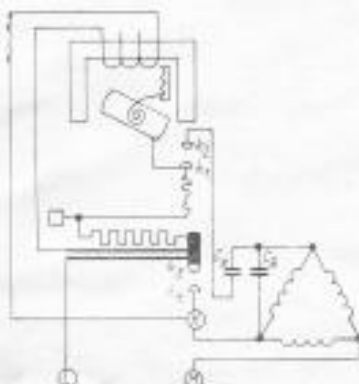
Jak jsme se již zmínili zpočátku, mají motorky a motory s trvale připojeným kondenzátorem poměrně malý poměrný záběrný moment ( $M_0/M_1$ ) — viz tab. 3. Je to hlavní důvod jejich omezeného použití. Známe však možnost, jak tuto omezuje vlastnost odstranit a získat tak jednofázový motor pro obecnější použití při zachování velmi dobrých energetických parametrů. Lze toho dosáhnout kombinací vlastnosti motoru s trvale připojeným kondenzátorem a motoru s kapacitní rozbalovou pomocnou fazou. Běhové vlastnosti zůstávají zachovány, záběrný moment se však zvětší v průměru asi čtyřnásobně. Schéma takového zapojení je na obr. 9a (smysl otáčení vlevo) a 9b (smysl otáčení vpravo). Jak je však ze schématu patrné, je třeba rozbalový kondenzátor po rozbalu motoru odpojit. Odpojení se dělá po dosažení asi 75 % synchronních otáček motoru některým z těchto způsobů:

a) samočinně, pomocí odstředivého odpojovače, který však musí být konstrukční součástí motoru,

b) ručně, pomocí spínače umístěného vně motoru, kombinovaného popř. s vypínačem motoru, jak to např. používá Elektro-Praga Hlinsko u kuchyňských strojků (robotů),

c) pomocí proudového relé umístěného rovněž vně motoru. Jsou to např. proudová relé MIHA, kterými vybavuje MLR své jednofázové elektromotory s rozbalovou kapacitní pomocnou fazou.

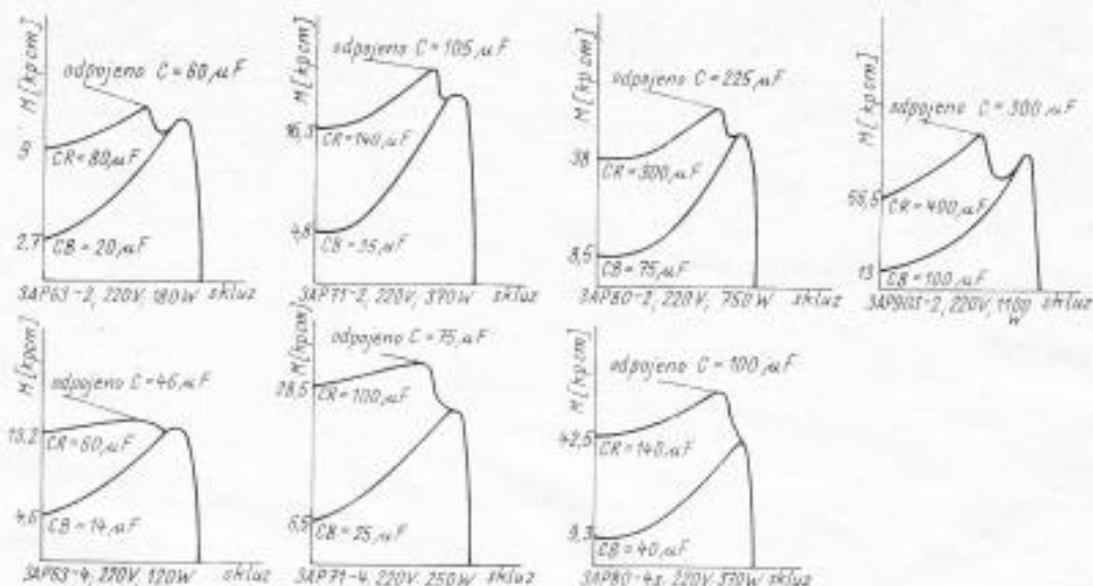
Poněvadž způsob odpínání pomocné fáze pomocí proudového relé je u nás méně známý, uvádíme na obr. 11 jeho schéma a připojení k vinutí motorku. Proud ze svorky L projdé cívka elektromagnetu na svorku K a dále obvodem vinutí motoru na svorku M. Tím dojde k přitažení kotvy magnetu a k zapnutí kontaktů k1 a k2, přes které se uzavře obvod rozbalového kondenzátoru Cs. Zábleský proud procházející obvodem se po rozbalu motorku zmenší a kotva magnetu se vlivem napínací pružiny vrátí do původní polohy, rozpojí kontakty k1—k2 a odpojí rozbalový kondenzátor. Pokud by z určitých důvodů (závada, popř. špatná



Obr. 11. Proudové ruční srovnání k odpínání rozbalového kondenzátoru.

výběr proudové spinaci hodnoty relé) nedošlo k odpojení rozbalového kondenzátoru, zareaguje tepelná ochrana s dvojkovem, která pomocí kontaktů k3—k4 provede přímé spojení svorky L se svorkou K, čímž se vinutí elektromagnetu vyfádi a rozpojí se obvod Cs, aby nedošlo k jeho havárii. Toužte tepelnou ochranou jsou vybavena jen některá provedená relé.

Na obr. 12 jsou uvedeny momentové charakteristiky  $M=f(n)$  představitelů trojfázové řady motor-

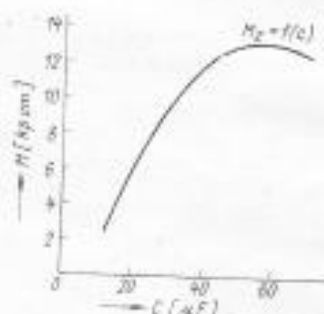


Obr. 12. Momentové charakteristiky motorů řady ZAP v jednofázovém zapojení 220 V s běhovými i rozběhovými kondenzátory.

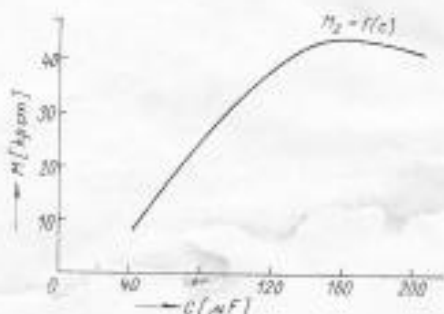
ků a motorů ZAP v jednofázovém zapojení, a to vždy s kondenzátorem trvale připojeným a navíc (v jednom grafickém záznamu) s kondenzátorem rozběhovým. Velikost rozběhového kondenzátoru byla u všech typů experimentálně ověřena tak, že

ně dobré patrnou z výsledků měření podle obr. 13. Rozběhové kondenzátory mohou být na jmenovité napětí 120 V (menší rozměry).

Závěrem je třeba zdůraznit, že klasické jednofázové motory a motorky s rozběhovou, tj. odpina-



Obr. 13a. Zjištění optimální velikosti rozběhového kondenzátoru. ZAP 60 — 4s; 220 V; 370 W;  $C_B = 60 \mu F$ .



Obr. 13b. Zjištění optimální velikosti rozběhového kondenzátoru. ZAP 60 — 4s; 220 V; 370 W;  $C_B = 40 \mu F$ .

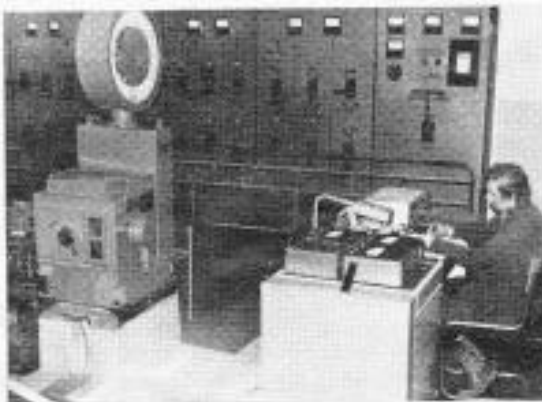
byla zjištována závislost záběrného momentu na kapacitě  $M = f(C)$ . Bylo prokázáno, že optimální hodnota rozběhového kondenzátoru  $C_R$  je asi čtyřnásobek hodnoty kapacity běhové  $C_B$ . Vyšší hodnoty rozběhové kapacity zvýší již  $M_2$  jen nevýrazně, případně dojde k jeho snížení. To je důstatoč-



Obr. 14. Částečný pohled do zkoušebny elektrotechnických strojů v n. p. MEZ Mochelnice.



Obr. 15. Snímání momentových charakteristik na souřadnicovém zapisovači na zkoušebně n. p. MEZ Mochelnice.



Obr. 16. Zkušební provozy nového generátoru pro zhotovení motorů nové řady TAP v n. p. MEZ Mohelnice.

telensou pomocnou fází, ať již odporovou, nebo kapacitní, jsou z hlediska energetických i ekonomických ukazatelů nevýhodné. Pomocná fáze, která zabírá určitý prostor statorových drážek a představuje určitou hmotnost mědi, se po rozbalení mo-

toru ihned odpojí a je dále nevyužita. Srovnáme-li účinnosti uvedené v tab. 5 s účinnostmi klasických jednofázových motorů s odpínacílnou pomocnou fází, zjistíme, že trvale pripojená kapacitní pomocná fáze znamená zvětšení účinnosti

- a) u strojů čtyřplošových o 11 %,
- b) u strojů dvouplošových o 10 %.

Největší překážkou hraničí realizování popisovaného výhodného zapojení je omezený sortiment kondenzátorů jak běhových, tak i rozbalových, které se u nás vyrábějí. Paralelní spojování kondenzátorů je při sériové výrobě značně nevýhodné a neestetické.

Bylo by výhodné a pro naši energetiku žádoucí rozšířit výrobu běhových kondenzátorů pro 250 V a rozbalových pro 120 V při současně zmenšených rozměrech, aby se získané poznatky a výsledky experimentálních měření mohly s výhodou realizovat. Nelze ani pomítnout ekonomickou výhodnost pro výrobu motorů, neboť výrobní sortiment by se zúžil pouze na trojfázové stroje, navržené na vysoké produktivní navýjecích strojích.

Obr. 14, 15 a 16 ukazují pohledy na pracoviště zkušebny elektrických strojů n. p. MEZ Mohelnice, kde byla měření motorů prováděna.